Siehe ähnliche Dateien: http://www.ps.bam.de/TG00/
Technische Information: http://www.ps.bam.de Version 2.1, i₀=1.1

Eingabe: Farbmetrisches Reflexions-System ORS18
für Buntton $h^* = lab^*h = 38/360 = 0.105$
*lab*tch* und *lab*nch*

D65: Buntton O
LCH*Ma: 48 83 38
olv*Ma: 1.0 0.0 0.0

Dreiecks-Helligkeit t^*

ORS18; adaptierte CIELAB-Daten	$L^*=L^*_a$	a^*_a	b^*_a	$C^*_{ab,a}$	$h^*_{ab,a}$
O_{Ma}	47.94	65.37	50.52	82.62	38
Y_{Ma}	90.37	−10.27	91.77	92.34	96
L_{Ma}	50.9	−62.79	34.95	71.87	151
C_{Ma}	58.62	−30.35	−45.01	54.3	236
V_{Ma}	25.71	31.11	−44.42	54.24	305
M_{Ma}	48.13	75.27	−8.35	75.73	354
N_{Ma}	18.01	0.0	0.0	0.0	0
W_{Ma}	95.41	0.0	0.0	0.0	0
R_{CIE}	39.92	58.66	26.98	64.56	25
J_{CIE}	81.26	−2.17	67.76	67.79	92
G_{CIE}	52.23	−42.26	11.75	43.87	164
B_{CIE}	30.57	1.15	−46.84	46.87	271

%Umfang
$u^*_{rel} = 93$
%Regularität
$g^*_{H,rel} = 57$
$g^*_{C,rel} = 59$

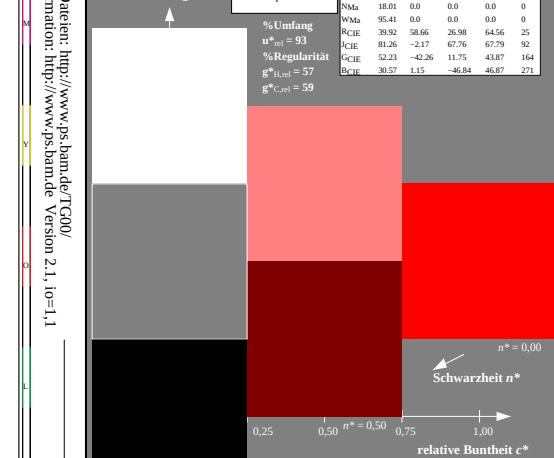

0,000−7, 3 stufige Reihen für konstanten CIELAB Buntton 38/360 = 0.105 (links)

Ausgabe: Farbmetrisches Reflexions-System MRS18
für Buntton $h^* = lab^*h = 30/360 = 0.083$
*lab*tch* und *lab*nch*

D65: Buntton R
LCH*Ma: 50 77 30
olv*Ma: 1.0 0.0 0.0

Dreiecks-Helligkeit t^*

MRS18; adaptierte CIELAB-Daten	$L^*=L^*_a$	a^*_a	b^*_a	$C^*_{ab,a}$	$h^*_{ab,a}$
R_{Ma}	49.63	66.96	38.37	77.18	30
J_{Ma}	90.7	−6.36	88.75	88.98	94
G_{Ma}	52.11	−69.73	9.44	70.37	172
$G50_{Ma}$	45.03	−36.57	−28.47	46.36	218
B_{Ma}	36.65	23.19	−63.05	67.18	290
$B50_{Ma}$	34.94	57.17	−44.26	72.31	322
N_{Ma}	18.01	0.0	0.0	0.0	0
W_{Ma}	95.41	0.0	0.0	0.0	0
R_{CIE}	39.92	58.66	26.98	64.56	25
J_{CIE}	81.26	−2.17	67.76	67.79	92
G_{CIE}	52.23	−42.26	11.75	43.87	164
B_{CIE}	30.57	1.15	−46.84	46.87	271

%Umfang
$u^*_{rel} = 91$
%Regularität
$g^*_{H,rel} = 41$
$g^*_{C,rel} = 52$

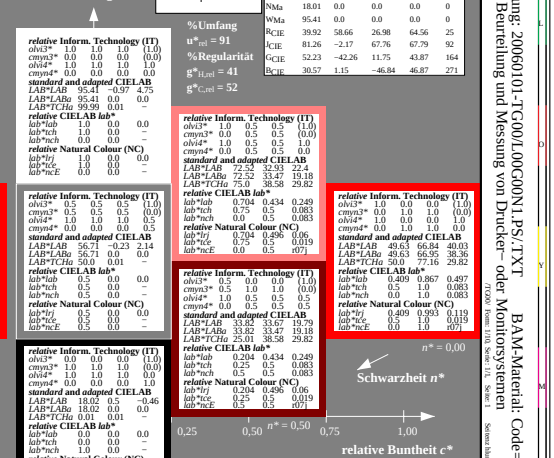

3 stufige Reihen für konstanten CIELAB Buntton 30/360 = 0.083 (rechts)